

53. 中伊豆町小断層周辺の電気的構造調査

歌 田 久 司
吉 野 登 志 男
石 川 雄 一
本 藏 義 守
小 山 茂 守
河 村 謙 洋
大 地 洪 幸
桑 島 正 幸

地震研究所
気象庁地磁気観測所

(昭和53年7月31日受理)

1. まえがき

地殻を構成する岩石の電気抵抗は、常温では岩石の空隙 (Pore) 内に含まれる水の量とその比抵抗値によってほぼ規定される。これは、個々の造岩鉱物の比抵抗が一般には非常に大きいため、電流はほとんど空隙中の水を流れることによる。一方室内実験によれば、岩石に割れ目 (Crack) が生ずることによって、数分の1ないし1桁の比抵抗の減少があることが示されている (BRACE and ORANGE, 1968)。こうした点から考えると、断層の活動によって破碎された岩石は、破碎されない岩石に比べ著しく低比抵抗であることが予想される。事実、兵庫県内にある山崎断層では、断層破碎帶の比抵抗が基盤に比べ1桁近く小さいことが明らかにされている (小野, 他, 1976)。

伊豆半島では過去数年間地盤に異常隆起のあることが、国土地理院の繰り返し水準測量によって明らかにされた (国土地理院, 1976)。隆起地域の中心に近い中伊豆町冷川で人工電位法による比抵抗測定を、1976年7～8月および11月に実施した (行武, 他, 1977)。ひき続き、1977年10月25～29日に第3回の観測を行なった。今回は、特に同地域内に存在する断層周辺の電気的構造解明を目的とした観測を実施した。伊豆半島には多数の活断層が分布するが (星野, 他, 1977)，それらは非常に小規模なものが多い。今回の観測では、(1)これら小規模断層にも、それに附隨して電気的手法で検出可能な破碎帶が存在するか、(2) I. P. (Induced Polarization) 現象が断層の存在に対応するか、という問題を明らかにすることを目標とした。

2. 測定地域とこれまでの結果

第1図に1976年7～8月および11月に実施した測定地域および電極配置を示す。大幡野高原 (Ohatano), 伊豆平 (Izudaira), および冷川 (Hiekawa) において、Schlumberger法による、あるいは Bipole-dipole 法との併用による測定を行なった (行武, 他, 1977)。

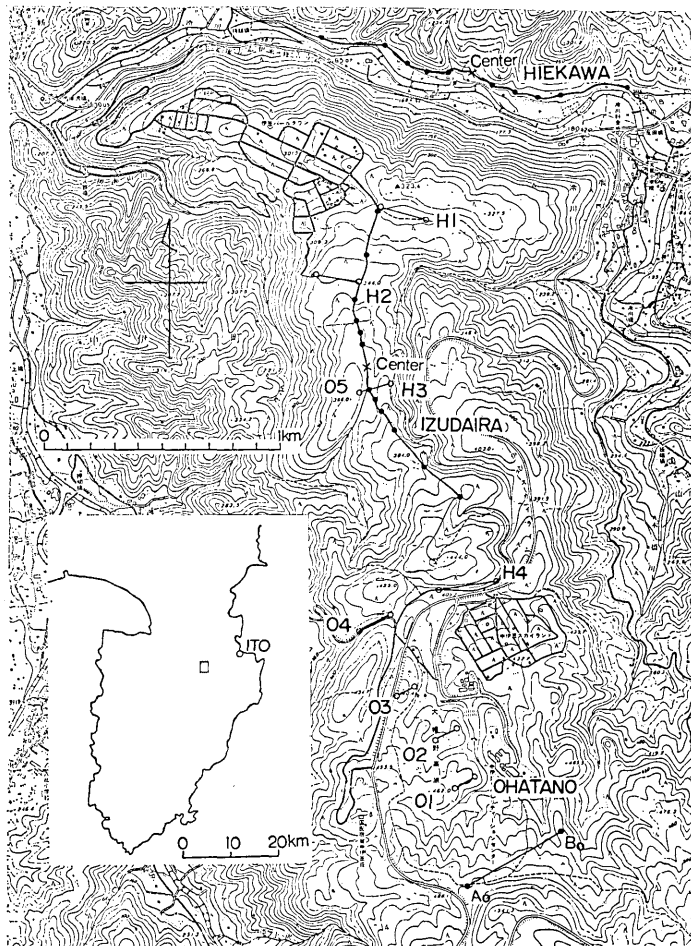


Fig. 1. Areas of previous earth resistivity measurements.

結果から水平層構造を仮定して得られた比抵抗垂直分布を第2図に示す。今回の測定は、大幡野高原と伊豆平とにはさまれた地域で実施した（第3図）。この地域には図に示したように、小規模の断層が存在する（星野、他、1977）。黒丸A, B, およびCは電流電極位置を、また、番号つきの黒三角は電位差の測定点を示す。電流 Dipole AB, およびAC は、それぞれ長さ200m, 196mで、直交して設置した。入力装置としては、最高800V 2 Aの電流を流すことのできるIP発信機（横浜電子社製、容量2kw）を使用した。実際に流した電流は1.5Aの交代直流（矩形波電流）で、周波数は0.1Hz および1Hz とし、場合に応じて0.3Hz および0.02Hz も併せて使用した。

3. 見かけ比抵抗と人工電流分布

電位測定点を固定する方法、例えば Schlumberger 法 (KELLER and FRISCHKNECHT, 1966) などは、電流電極間隔を拡大することにより深部の情報を得ることができ、いわゆ

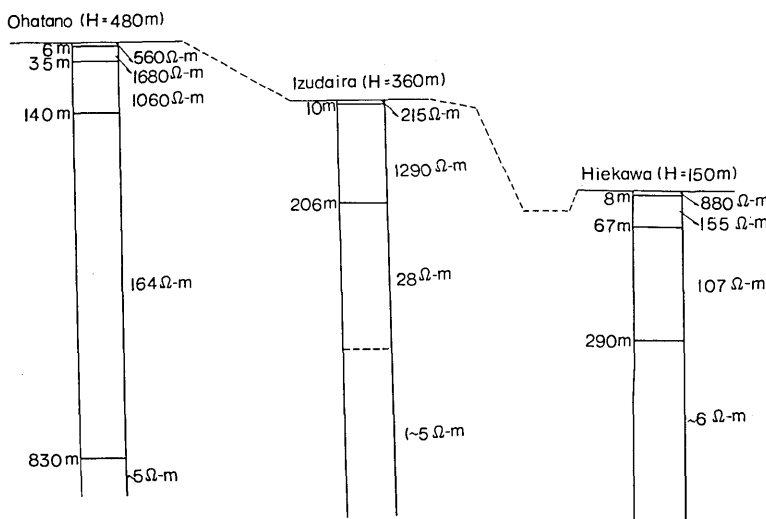


Fig. 2. Vertical distributions of the electrical resistivity
(after YUKUTAKE et al., 1977).

る垂直探査法として有効である。一方、今回実施した Quadrupole Mapping 法（第4図）では、電流電極を固定して電位測定点を移動させる。このため、測定値は各測定点ごとにその付近の比抵抗構造の影響を強く受けることになる。従って、この方法は水平方向の比抵抗異常の検出に有効であると言うことができる。

測定は第4図に示したような電極配置で行ない、直交する電流 Dipole AB, AC に対し、OM, ON 直交 2 成分の電位差を測定する。なお、この際用いる電流の周波数は、過渡現象の影響がなく直流とみなしうるもの（0.1Hz）である。電位電極間隔は充分短くし（50m以下）、電位の平均勾配を電場として扱った。電流 Dipole AB, AC に対し、電場 \mathbf{E}_{AB} , \mathbf{E}_{AC} が測定された時、点 (r, ϕ) における見かけの比抵抗を、DOICIN (1976) と同様な形式で、

$$\rho_Q = \frac{2\pi}{I} |\mathbf{E}_{AB} \times \mathbf{E}_{AC}|^{1/2} G_Q^{-1/2} \quad (1-a)$$

$$G_Q = \left(\frac{1}{r^2} - \frac{r - a \cos \phi}{r_B^3} \right) \frac{1}{r_C^3} a \cos \phi + \left(\frac{1}{r^2} - \frac{r - a \sin \phi}{r_C^3} \right) \frac{1}{r_B^3} a \sin \phi \quad (1-b)$$

によって算出した。

人工電流場は、電極配置から見て理想的には双極子場となるはずであるが、実際には水平方向の比抵抗の不均質が原因となり、測定された電場の向は程度の差はあれ乱されたものとなる。そこで測定された電場の方向 θ_M の、一様媒質に予想される電場の方向 θ_H からのずれ

$$\delta = \theta_M - \theta_H$$

は、水平方向の媒質の不均質さに対応した分布になるものと考えられる。

ここでは、見かけ比抵抗 ρ_Q および電場の方向のずれ δ_{AB} , δ_{AC} の分布から、測定地域の

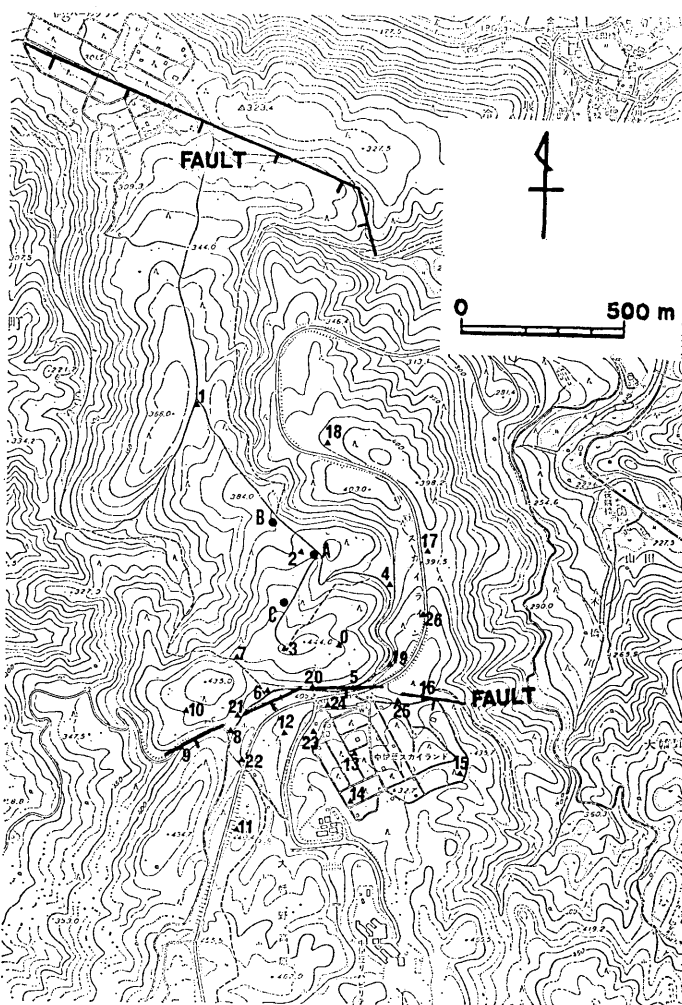


Fig. 3. Location of electrodes for the quadrupole mapping. Solid circles A, B, and C are the locations of current electrodes and the numbered triangles those of measuring points. Solid lines are the active faults (after HOSHINO et al., 1976).

構造を議論することにする。なお、Quadrupole Mapping 法では電流 Dipole AB, AC に対し、それぞれ固有の見かけ比抵抗 ρ_{AB} , ρ_{AC} を求めることができるが (KELLER et al., 1975), これらは、Dipole の方向性による影響が含まれるのでここでは用いない。

第 5 図は ρ_Q を距離 r に対し両対数にプロットしたもので (黒丸), 実線は伊豆平における Schlumberger 法によって求まった比抵抗垂直分布モデル (第 2 図) に対する理論曲線である。 $\rho_Q - r$ の関係はこの曲線とよく似た傾向を示している。今回得られた結果にこの曲線を適合させるためには、前に得られた伊豆平のモデルで第 2 層と第 3 層の境界の深さを数十 m 浅くすればよいことがわかる。いずれにしても、観測地域の構造は平均的に見れば、数 $100 \Omega\text{-m}$ の表層と、 $1 k\Omega\text{-m}$ 以上の第 2 層および数 $10 \Omega\text{-m}$ の第 3 層からな

るということができる。しかし、 ρ_q 個々の値を見るとかなりのばらつきが見られる。この測定における測定精度は、距離の測定誤差および電位差の読み取り誤差を加味して約10%前後となるが、 ρ_q のばらつきは有意に大きい。従ってこれは各測定点付近の、比抵抗の不均一による擾乱によるものであると考えられる。

第6図は ρ_q の水平分布を、等見かけ比抵抗線で示したものである。モデル計算によれば、横方向に均質な水平層構造に対する ρ_q の分布は、ほぼ同心円状となる。また、一様媒質中に比抵抗異常領域がある場合には、その形状によく対応した ρ_q 分布が得られることが知られている。観測結果は、ほぼ同心円に近い分布であるがところどころゆがみが見られる。特に伊豆スカイライン（破線）の南側のゆがみは大きく、この付近の地下に低比抵抗異常領域があることが考えられる。一方、

δ_{AB} , δ_{AC} の分布から（第7a図、7b図）、ほぼ同じ地域を中心として、電場の方向が著しく乱されており、大きいところで50°以上になっている。

以上の結果を総合すると、大幡野高原と伊豆平の中間にあると推定されている小断層（第3図）は、低比抵抗の破碎帯を伴なつたものであると結論できよう。しかし、低比抵抗帯の拡がりからすると、その延長は第3図に描かれているものよりはかなり短かいものと推定される。しかし、その延長や幅がどの程度のものである

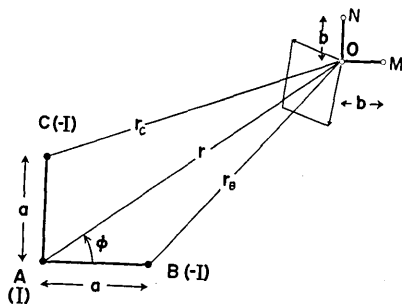


Fig. 4. Electrode configuration for the quadrupole mapping.

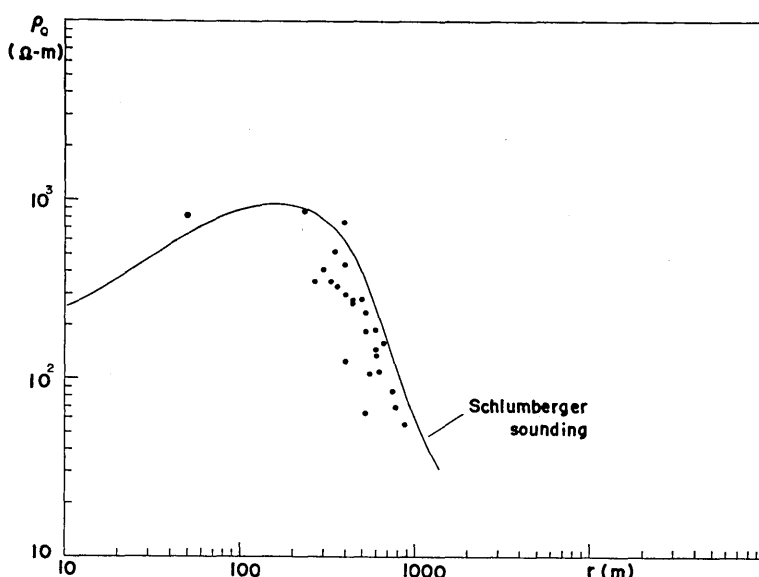


Fig. 5. Apparent resistivity values plotted as a function of distance from the current source.

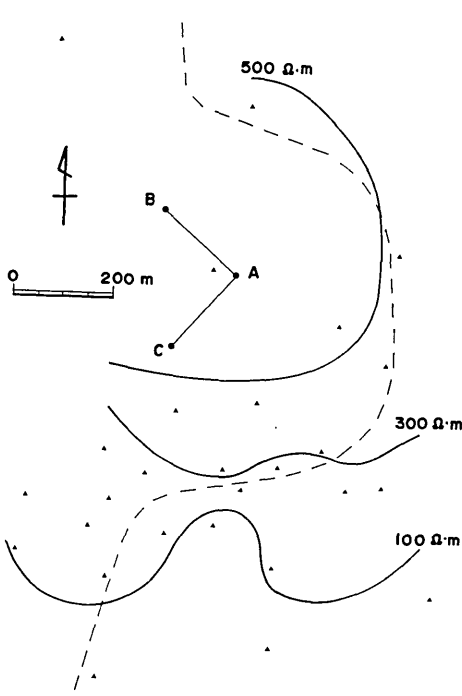


Fig. 6. Horizontal distribution of apparent resistivity values. Dashed line denotes the Izu Sky-line.

定にした場合の周波数 ω_1 , ω_2 に対する出力電位差である。しかし、我々の観測は2次元的に行なったものであり、分極はベクトルとして考えなければならない。そこで、第9図に示すように入力電流値が一定の場合の、0.1Hzと1Hzに対する出力電場の差で分極ベクトル \mathbf{P} を定義した。第10a図、10b図に分極ベクトル \mathbf{P} の分布を示す。各ベクトルは直流電場の大きさで規格化して表わしてある。従って、このベクトルの各成分は(3)式のPFEとほぼ同じ意味を持つ。

なお、この測定結果には電磁誘導による効果も含まれているはずである。IP法における誘導効果の補正は重要な問題とされており、例え層構造に対する理論計算による補正法(DEY and MORRISON, 1973)などがあるが、この方法を適用しうるのは地表付近が一様に近い特別な場合に限られる。従ってここでは、誘導効果の補正是行なっていない。

第10a図、10b図を見ると、分極ベクトルは、比抵抗異常領域の周りで大きい傾向がある。しかしこの傾向はかなり広い範囲にわたっており、比抵抗異常領域との対応は必ずしもよくない。なおベクトルの方向は、測定点5, 12, 24などではいずれの電流 Dipole に対しても、ほぼ南北方向にそろっている。この事は、この断層の走向がほぼ東西であり、断層上と思われる測定点5, 20で、電場の向きがいずれの電流 Dipole に対しても東西にそろっている事と対称的である。

かについて結論を出すためには、さらに詳しい調査が必要である。

4. IP 強度分布

測定の際、矩形波電流を入力した時の出力電圧波形は、第8図の下半分に例を示したように入力同一周波数の矩形波となり、等価回路として抵抗だけを考えればよい場合もあるが、時としてキャパシタンスやインダクタンスを挿入した時と類似した過渡現象が見られる時がある。第8図の上半分の例がそれである。物理探査法の一つであるIP法(Induced Polarization method)では、単一の測線において周波数を変えた測定を行ない、分極の強度を表わすパラメータとして、次の様な量、PFE(Percent Frequency Effect)

$$PFE = \frac{V(\omega_1) - V(\omega_2)}{V(\omega_2)} \times 100 (\%) \quad (3)$$

を求めることがよく行なわれる。ここで $V(\omega_1)$, $V(\omega_2)$ は、それぞれ入力電流値を

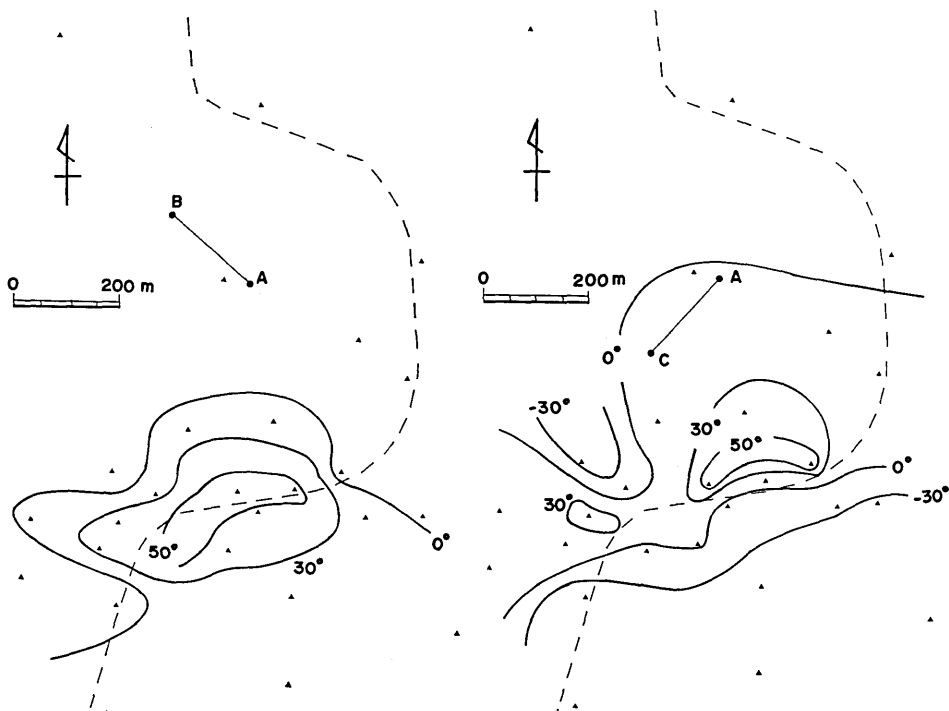


Fig. 7a. Horizontal distribution of δ values for the source dipole AB.

Fig. 7b. Horizontal distribution of δ values for the source dipole AC.

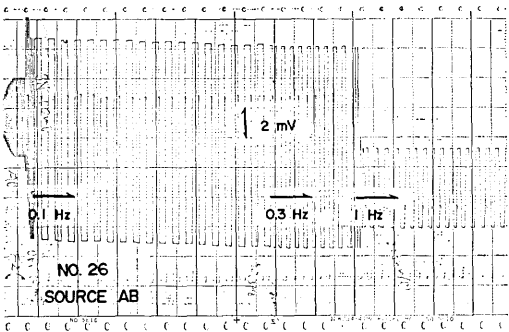
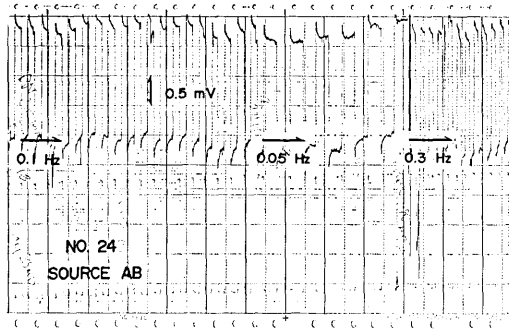


Fig. 8. Examples of output waveform; transient type (above) and normal type (below).

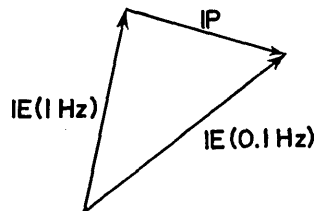


Fig. 9. Relation between the electric fields measured at frequencies 0.1 Hz and 1 Hz and the induced polarization vector.

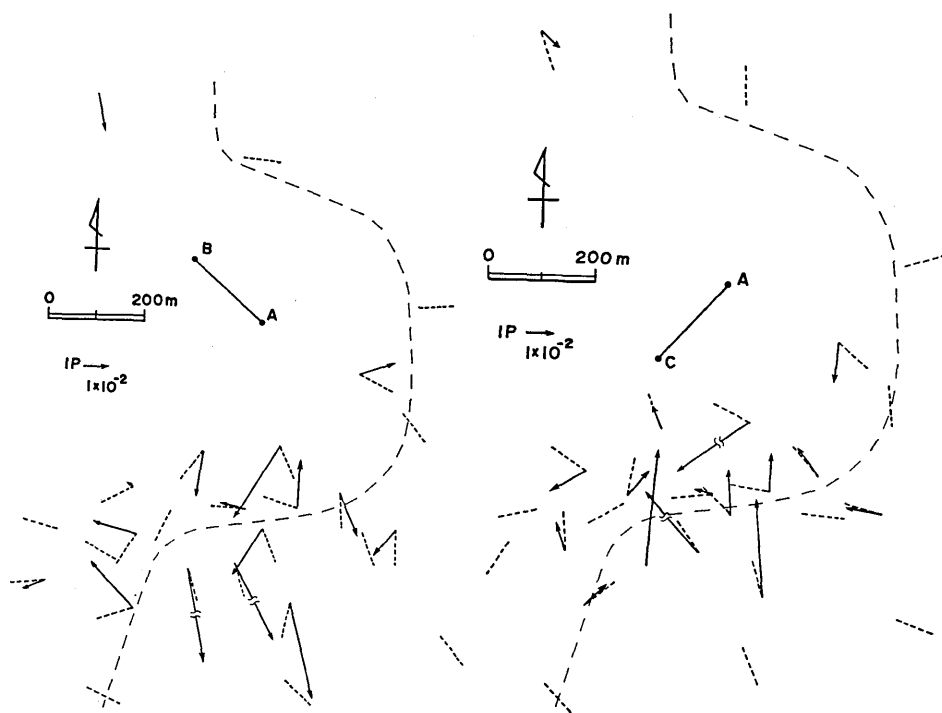


Fig. 10a. Distribution of induced polarization vectors (arrows) and electric fields (dashed lines) for the source dipole AB.

Fig. 10b. Distribution of induced polarization vectors and electric fields for the source dipole AC.

5. まとめ

地質調査によって指摘された小断層の周辺で人工電位法による電気探査を実施した。この推定断層上では見かけ比抵抗が小さいこと、電場がほぼ断層と平行になることなどの結果が得られた。これらは、この断層が小規模断層とはいえ、破碎帯を伴うものであることを意味している。しかし、IP強度の分布は比抵抗や電場の分布とは違って強い強度を示す点が必ずしも、断層付近に集中していないことがわかった。今回の観測から、伊豆半島に多数分布する活断層は比較的小規模のものが多いが、それらは電気的に検出可能な破碎帯を有するものである可能性が大きいと言えよう。

観測実施に当っては、前回同様、中伊豆町役場、全国共済農業協同組合・中伊豆リハビリテーションセンター、国民宿舎中伊豆荘の方々の御協力を得た。これら多くの関係者の方々に深謝の意を表する。

参考文献

- BRACE, W. F. and A. S. ORANGE, Electrical resistivity changes in saturated rocks during fracture and frictional sliding, *J. Geophys. Res.*, 73, 1433-1445, 1968.

- DEY, A. and H.F. MORRISON, Electromagnetic coupling in frequency and time domain induced polarization surveys over a multilayered earth, *Geophysics*, 38, 380-405, 1973
- DOICIN, D., Quadripole-quadrupole arrays for direct current resistivity measurements -model studies, *Geophysics*, 41, 79-95, 1976.
- 星野一男, 橋本知昌, 松田時彦, 伊豆半島北部の活断層分布図, 地震予知連絡会会報, 17, 51-52, 1977.
- KELLER, G. V. and F.C. FRISCHKNECHT, *Electrical methods in geophysical prospecting*, Pergamon press, Oxford, 1966.
- KELLER, G. V., R. FURGERSON, C. Y. LEE, N. HARTHILL, and J. J. JACOBSON, The dipole mapping method, *Geophysics*, 40, 451-472, 1975.
- 国土地理院地殻調査部, 伊豆半島の地殻変動, 地震予知連絡会会報, 16, 82-87, 1976.
- 小野吉彦, 村上 裕, 行武 賀, 人工電位法による山崎断層周辺の比抵抗構造について, 地磁気観測所技術報告, 17, 61-68, 1978.
- 行武 賀, 吉野登志男, 歌田久司, 本藏義守, 小山 茂, 河村 謙, 大地 洋, 森 俊雄, 田中秀文, 若林哲也, 吉田 稔, 伊豆半島地盤異常隆起地域の電気抵抗測定, 地震研究所彙報, 52, 163-171, 1977.

53. Geoelectric Survey around a Fault in Izu Peninsula.

By Hisashi UTADA, Toshio YOSHINO, Yuichi ISHIKAWA,
 Yoshimori HONKURA and Shigeru KOYAMA,
 Earthquake Research Institute,
 Makoto KAWAMURA, Kou OCHI and Masayuki KUWASHIMA,
 Kakioka Magnetic Observatory.

A geoelectric survey was conducted in Nakaizu during the period from October 25 to October 29, 1977, where anomalous upheaval of the crust has been continuing for the last few years. By an extensive geological survey it has been suggested that many small faults distribute in the crustal upheaval area. One of the purposes of our geoelectric survey was to examine whether there existed a fractured zone along the fault which was characterized by low electrical resistivity. Quadrupole resistivity mapping method was applied to investigate the horizontal distribution of the earth resistivity around one of the faults near the center of the anomalous upheaval. It has been confirmed that the apparent resistivity is low along the fault, and that, at the sites near the fault, the electric field is aligned in a direction parallel to the fault, irrespective of the direction of the current electrodes.

By making use of the same quadrupole arrangements for the current electrodes, an induced polarization survey was made in the same area. Although a clear relation between the induced polarization activity and the fault has not been established, large magnitude of the induced polarization was observed exclusively at the sites near the fault. The results of the present survey suggest that a fractured zone exists even with this small fault.